

# 비압축성 유동의 수치계산을 위한 표준 분할 단계 방법 및 일관된 경계 조건의 개발

이 문 주<sup>\*\*\*</sup>, 오 병 도<sup>\*\*\*</sup>, 김 영 배<sup>\*\*\*</sup>

## Development of Canonical Fractional-Step Methods and Consistent Boundary Conditions for Computation of Incompressible Flows

Moon J. Lee, Byung Do Oh and Young Bae Kim

**Key Words :** Navier-Stokes equations (나비어-스토克斯 방정식); fractional-step methods (분할 단계 방법); approximate factorization (근사분해); boundary conditions (경계 조건); incompressibility (비압축성).

### Abstract

An account of second-order fractional-step methods and boundary conditions for the incompressible Navier-Stokes equations is presented. The present work has aimed at (i) identification and analysis of all possible splitting methods of second-order splitting accuracy; and (ii) determination of consistent boundary conditions that yield second-order accurate solutions. It has been found that only three types (D, P and M) of splitting methods called the canonical methods are non-degenerate so that all other second-order splitting schemes are either degenerate or equivalent to them. Investigation of the properties of the canonical methods indicates that a method of type D is recommended for computations in which the zero divergence is preferred, while a method of type P is better suited to the cases when highly-accurate pressure is more desirable. The consistent boundary conditions on the tentative velocity and pressure have been determined by a procedure that consists of approximation of the split equations and the boundary limit of the result. The pressure boundary condition is independent of the type of fractional-step methods. The consistent boundary conditions on the tentative velocity were determined in terms of the natural boundary condition and derivatives of quantities available at the current timestep (to be evaluated by extrapolation). Second-order fractional-step methods that admit the zero pressure-gradient boundary condition have been derived. The boundary condition on the new tentative velocity becomes greatly simplified due to improved accuracy built in the transformation.

### 1. 서 론

본 논문은 3 차원 비정상 비압축성 유동을 primitive variables로 기술하는 Navier-Stokes equations을 위한 fractional-step methods와 boundary conditions을 연구한 결과를 담고 있다.

이산화된 Navier-Stokes equations의 수치해를 구하는 계산은 그 algebraic equations가 coupled되어 있어 매우 큰 system을 형성하므로 비용이 많이 듈다. 이러한 어려움은 fractional-step method를 사용함으로써 해소할 수 있다 (Harlow and Welch<sup>(6)</sup>; Chorin<sup>(4)</sup>; Temam<sup>(11,12)</sup>).

Fractional-step methods를 구축하고 실제로 사용하는 데 있어서 해결하여야 할 다음과 같은 2 가지 중요한 과제가 있다: (i) splitting (or decoupling) of the equations (or operators); and (ii) boundary conditions associated with the tentative

---

\* 포항공과대학교 기계공학과

\*\* 첨단유체공학연구센터

velocity and pressure. 상기 2 과제는 상호의존적임과 동시에 discretization schemes (both time and space) and configuration of computational domain과 같은 적용상의 문제 때문에 여태까지 이론의 여지가 많아 왔다. Fractional-step method로 구한 해의 accuracy는 time advancement, splitting 및 boundary conditions의 accuracy(각각 *time accuracy*, *splitting accuracy* 그리고 *accuracy of the boundary conditions*로 부르기로 함)에 의존한다. Fractional-step method의 splitting과 boundary conditions의 동일한 accuracy는 이산화된 Navier-Stokes equations와 natural boundary conditions에 time-advancement method의 order of accuracy까지 동일(*consistent*)할 때 바로소 보장된다.

본 연구의 목적은 다음의 2 가지이다: (i) second-order splitting accuracy를 갖는 모든 가능한 splitting methods의 발견; 그리고 (ii) second-order accurate solutions을 갖게 하는 consistent boundary conditions의 결정. 본 연구의 방향은 단순하며 직설적으로 그 결과가 time and spatial derivatives의 특별한 discretization scheme 또는 computational domain의 geometry에 따라 다르지 않는 넓은 적용범위를 갖는다.

최근의 Dukowicz and Dvinsky<sup>(5)</sup>와 Perot<sup>(10)</sup>의 연구에 따르면 fractional-step method의 splitting을 이산화된 방정식의 approximate block-factorization으로 간주할 수 있으며 *ad hoc* splitting으로 얻어진 방정식의 splitting accuracy는 time accuracy와 언제나 같지 아니하다. 그러나, approximate factorization에 기초한 splitting으로 얻어진 system of equations는 unsplit equations과 time-advancement method의 order of accuracy까지 언제나 *consistent*하다.

본 연구는 이와 같이 탁월한 approximate factorization의 성질을 이용하여 second-order accuracy를 갖는 fractional-step methods를 구축하고자 한다. 먼저 exact block-factorizations로 이산화된 Navier-Stokes equations의 모든 가능한 splittings를 얻은 후에 second-order accuracy를 갖도록 그 결과를 approximate하여 적절한 해석을 거치면 3 개의 nondegenerate fractional-step methods(지금부터 각각 *canonical methods* of type D, P and M라고 부름)를 결정한다. Approximate factorization으로 얻어진 모든 여타의 fractional-step methods는 canonical methods 중 하나에 degenerate하거나 또는 equivalent하다.

## 2. Navier-Stokes equations의 이산화

비압축성 Navier-Stokes 방정식을 적당한 second-order time-advancement methods를 사용하여 시간에 대해서만 이산화하면 다음과 같이 semi-discrete equations를 얻는다:

$$A\mathbf{u}^{(n+1)} + \Delta t G p^{(n+1)} = \mathbf{r}, \quad (1)$$

$$D\mathbf{u}^{(n+1)} = 0. \quad (2)$$

여기서 A와 G=grad 그리고 D=div는 continuous differential operators이며 r는 현재 timestep n에서 알고 있는 모든 항을 나타낸다. Differential operator A는 time-advancement schemes의 선택에 관계없이  $A=I - \Delta t B$ 로 나타낼 수 있다. 완전이산화한 Navier-Stokes 방정식은 다음과 같다:

$$\begin{bmatrix} A & \Delta t G \\ D & 0 \end{bmatrix} \begin{bmatrix} \mathbf{u}^{(n+1)} \\ p^{(n+1)} \end{bmatrix} = \begin{bmatrix} \mathbf{r} \\ 0 \end{bmatrix} + \begin{bmatrix} \mathbf{b} \\ c \end{bmatrix}, \quad (3)$$

여기서  $\mathbf{u}^{(n+1)}$ 과  $p^{(n+1)}$ 는 내부격자점에서의 속도 및 압력을, b와 c는 boundary terms를 나타내며 block matrix는 system matrix  $\Gamma_{NS}$ 라고 하자.

## 3. Second-order fractional-step methods의 개발

### 3.1 System matrix의 exact block-factorization

Exact factorization은 정해진 splitting accuracy를 갖는 fractional-step method를 개발하는 데 필요한 중요한 첫 단계이다. System matrix를 unit block-lower-triangular matrix L, unit block-upper-triangular matrix U 그리고 2 개의 one-sided block-diagonal matrices  $D_1$ 과  $D_2$ 로 분해한다. 이와 같이 4 개의 factorization modules로 구성 가능한 조합은 모두 24 개가 있는데, 그 중 12 개만이 nontriviality condition을 만족하여 4 개의 four-part factorizations, 9 개의 three-part factorizations 그리고 6 개의 two-part factorizations를 만들 수 있다.

### 3.2 Approximate block-factorization 방법<sup>(2,13)</sup>

지금까지 exact factorization으로 얻어진 splitting schemes는 system matrix에 submatrix A의 inverse를 포함하는  $-\Delta t D A^{-1} G$ ,  $-\Delta t A^{-1} G$  그리고  $D A^{-1}$  같은 항들이 있어 계산에 어려움이 있기 때문에 approximate 하는 것이 바람직하다. 작은  $\Delta t$ 에 대하여  $A^{-1}$ 를 다음과 같이 전개한다:

**Table 1.** Second-order factorization of the system matrix  $\Gamma_{NS}$  into two parts, where  $\Gamma_{\alpha}^{(s)}$  is the  $\alpha$ th part of a splitting method with  $s$  parts.  $\iff$ , equivalent to.

Code	Factorization, $\Gamma_1^{(2)} \Gamma_2^{(2)}$	Degen/Equiv
D2A	$\begin{bmatrix} A & 0 \\ D & -\Delta t DG \end{bmatrix} \begin{bmatrix} I & \Delta t G \\ 0 & I \end{bmatrix}$	Nondegenerate
D2B	$\begin{bmatrix} A & 0 \\ D & I \end{bmatrix} \begin{bmatrix} I & \Delta t G \\ 0 & -\Delta t DG \end{bmatrix}$	$\iff$ D2A
D2C	$\begin{bmatrix} A & 0 \\ 0 & I \end{bmatrix} \begin{bmatrix} I & \Delta t G \\ 0 & 0 \end{bmatrix}$	Unimplementable
P2A	$\begin{bmatrix} I & 0 \\ D + \Delta t DB & -\Delta t DG \end{bmatrix} \begin{bmatrix} A & \Delta t G \\ 0 & I \end{bmatrix}$	Nondegenerate
P2B	$\begin{bmatrix} I & 0 \\ D + \Delta t DB & I \end{bmatrix} \begin{bmatrix} A & \Delta t G \\ 0 & -\Delta t DG \end{bmatrix}$	$\iff$ P2A
P2C	$\begin{bmatrix} I & \Delta t G \\ D + \Delta t DB & 0 \end{bmatrix} \begin{bmatrix} A & 0 \\ 0 & I \end{bmatrix}$	Unimplementable

**Table 2.** Second-order factorization of the system matrix  $\Gamma_{NS}$  into three parts, where  $\Gamma_{\alpha}^{(s)}$  is the  $\alpha$ th part of a splitting method with  $s$  parts.  $\implies$ , degenerate to;  $\rightarrow$ , degenerate to by interpretation;  $\iff$ , equivalent to.

Code	Factorization, $\Gamma_1^{(3)} \Gamma_2^{(3)} \Gamma_3^{(3)}$	Degen/Equiv
D3A	$\begin{bmatrix} A & 0 \\ 0 & I \end{bmatrix} \begin{bmatrix} I & 0 \\ D & -\Delta t DG \end{bmatrix} \begin{bmatrix} I & \Delta t G \\ 0 & I \end{bmatrix}$	$\implies$ D2A
D3B	$\begin{bmatrix} A & 0 \\ D & I \end{bmatrix} \begin{bmatrix} I & 0 \\ 0 & -\Delta t DG \end{bmatrix} \begin{bmatrix} I & \Delta t G \\ 0 & I \end{bmatrix}$	$\implies$ D2A
D3C	$\begin{bmatrix} A & 0 \\ 0 & I \end{bmatrix} \begin{bmatrix} I & 0 \\ D & I \end{bmatrix} \begin{bmatrix} I & \Delta t G \\ 0 & -\Delta t DG \end{bmatrix}$	$\rightarrow$ D2A
P3A	$\begin{bmatrix} I & 0 \\ D + \Delta t DB & I \end{bmatrix} \begin{bmatrix} I & 0 \\ 0 & -\Delta t DG \end{bmatrix} \begin{bmatrix} A & \Delta t G \\ 0 & I \end{bmatrix}$	$\implies$ P2A
P3B	$\begin{bmatrix} I & 0 \\ D + \Delta t DB & -\Delta t DG \end{bmatrix} \begin{bmatrix} I & \Delta t G \\ 0 & I \end{bmatrix} \begin{bmatrix} A & 0 \\ 0 & I \end{bmatrix}$	$\implies$ P2A
P3C	$\begin{bmatrix} I & 0 \\ D + \Delta t DB & I \end{bmatrix} \begin{bmatrix} I & \Delta t G \\ 0 & -\Delta t DG \end{bmatrix} \begin{bmatrix} A & 0 \\ 0 & I \end{bmatrix}$	$\implies$ P2A
M3A	$\begin{bmatrix} I & 0 \\ D + \Delta t DB & -\Delta t DG \end{bmatrix} \begin{bmatrix} A & 0 \\ 0 & I \end{bmatrix} \begin{bmatrix} I & \Delta t G \\ 0 & I \end{bmatrix}$	Nondegenerate
M3B	$\begin{bmatrix} I & 0 \\ D + \Delta t DB & I \end{bmatrix} \begin{bmatrix} A & 0 \\ 0 & -\Delta t DG \end{bmatrix} \begin{bmatrix} I & \Delta t G \\ 0 & I \end{bmatrix}$	$\iff$ M3A
M3C	$\begin{bmatrix} I & 0 \\ D + \Delta t DB & I \end{bmatrix} \begin{bmatrix} A & 0 \\ 0 & I \end{bmatrix} \begin{bmatrix} I & \Delta t G \\ 0 & -\Delta t DG \end{bmatrix}$	$\iff$ M3A

$$\mathbf{A}^{-1} = \mathbf{I} + \Delta t \mathbf{B} + \Delta t^2 \mathbf{B}^2 + \dots \quad (4)$$

본 논문에서는 second-order accuracy를 갖는 방법들을 2 차항 까지 전개한 결과를 사용한다. 다음 단계는 실제로 implement 할 수 있는 factorization을 찾아내고 이들 중 fewer factored parts의 scheme에 degenerate하거나 동일한 factored parts의 수를 갖는 다른 schemes에 equivalent한 factorizations를 밝혀내는 것이다. 이와 같은 과정을 거쳐 얻은 second-order factorization을 Tables 1, 2, 3에 two-part, three-part 그리고 four-part methods 별로 각각 나타내었다.

Table 1에 나타낸 6개의 two-part factorizations는 approximated system matrix의 어느 operator가 system matrix  $\Gamma_{NS}$ 의 operator와 같은가에 따라 2 개의 group으로 분류하였다. D2A, D2B와 D2C는 system matrix의 pressure-gradient operator를  $O(\Delta t^2)$ 로 approximate 한 결과이고 P2A와 P2B는 divergence operator를 approximate 한 것이다. (D2C는 실현할 수 없는 방법.) 전자를 methods of type

**Table 3.** Second-order factorization of the system matrix  $\Gamma_{NS}$  into four parts, where  $\Gamma_{\alpha}^{(s)}$  is the  $\alpha$ th part of a splitting method with  $s$  parts.  $\implies$ , degenerate to.

Code	Factorization, $\Gamma_1^{(4)} \Gamma_2^{(4)} \Gamma_3^{(4)} \Gamma_4^{(4)}$	Degen/Equiv
D4	$\begin{bmatrix} A & 0 \\ 0 & I \end{bmatrix} \begin{bmatrix} I & 0 \\ D & I \end{bmatrix} \begin{bmatrix} I & 0 \\ 0 & -\Delta t DG \end{bmatrix} \begin{bmatrix} I & \Delta t G \\ 0 & I \end{bmatrix}$	$\implies$ D2A
P4	$\begin{bmatrix} I & 0 \\ D + \Delta t DB & I \end{bmatrix} \begin{bmatrix} I & 0 \\ 0 & -\Delta t DG \end{bmatrix} \begin{bmatrix} I & \Delta t G \\ 0 & I \end{bmatrix} \begin{bmatrix} A & 0 \\ 0 & I \end{bmatrix}$	$\implies$ P2A
M4A	$\begin{bmatrix} A & 0 \\ D + \Delta t DB & I \end{bmatrix} \begin{bmatrix} A & 0 \\ 0 & I \end{bmatrix} \begin{bmatrix} I & 0 \\ 0 & -\Delta t DG \end{bmatrix} \begin{bmatrix} I & \Delta t G \\ 0 & I \end{bmatrix}$	$\implies$ M3A
M4B	$\begin{bmatrix} I & 0 \\ D + \Delta t DB & I \end{bmatrix} \begin{bmatrix} I & 0 \\ 0 & -\Delta t DG \end{bmatrix} \begin{bmatrix} A & 0 \\ 0 & I \end{bmatrix} \begin{bmatrix} I & \Delta t G \\ 0 & I \end{bmatrix}$	$\implies$ M3A

D (divergence-free) 그리고 후자를 methods of type P (pressure-accurate)라고 부르자. D2A와 P2A를 제외한 방법은 모두 이들로 표현할 수 있으므로 이 2 종류의 방법을 canonical methods라고 한다.

Table 2에 나타낸 9개의 three-part factorizations는 type D와 P이외에 이들의 hybrid인 mixed type이 존재한다. 이들 중 methods of type D와 P는 D2A 혹은 P2A로 degenerate하고 methods of type M은 M3A와 equivalent하다. 따라서 M3A를 canonical methods of type M이라고 한다.

Table 3에 보인 4개의 four-part factorizations는 모두 앞에서 언급한 canonical methods에 degenerate 하므로 four-part factorizations 중 canonical methods는 없다.

#### 4. Fractional-step methods의 특성

위에서 구한 canonical methods의 system matrix는 각각 다음과 같이 나타낼 수 있다:

$$\Gamma_D = \begin{bmatrix} A & \Delta t G - \Delta t^2 \mathbf{B}G \\ D & 0 \end{bmatrix}, \quad (5a)$$

$$\Gamma_P = \begin{bmatrix} A & \Delta t G \\ D - \Delta t^2 \mathbf{DB}^2 & \Delta t^2 \mathbf{DBG} \end{bmatrix}, \quad (5b)$$

$$\Gamma_M = \begin{bmatrix} A & \Delta t G - \Delta t^2 \mathbf{BG} \\ D - \Delta t^2 \mathbf{DB}^2 & -\Delta t^3 \mathbf{DB}^2 \mathbf{G} \end{bmatrix}. \quad (5c)$$

여기서 pressure term은 time-advancement scheme에 관계없이 언제나 first-order temporal accuracy를 갖고 있음을 알 수 있다. Canonical methods of type D and P의 splitting structure를 조사하자.

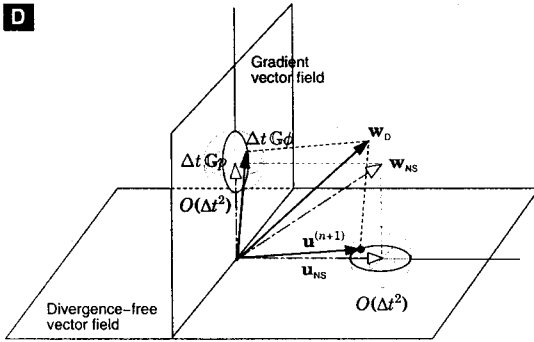
##### 4.1 Canonical fractional-step methods of type D

- ) 방법은 two split parts를 갖는다:

$$A\mathbf{u}^* = \mathbf{r}, \quad (6a)$$

$$Du^* - \Delta t DG\phi^{(n+1)} = 0, \quad (6b)$$

$$\mathbf{u}^{(n+1)} + \Delta t G\phi^{(n+1)} = \mathbf{u}^*. \quad (6c)$$



**Fig. 1.** Comparison of the projection in a second-order method of type D with the exact projection in the Navier–Stokes equations:  $\rightarrow$ , second-order method of type D;  $\dashrightarrow$ , Navier–Stokes equations. The solution of this method is exactly divergence-free (within machine roundoff) and has a second-order error.

Pressure-gradient term이 없는 momentum equations (6a)를 풀어 tentative velocity  $\mathbf{u}^*$ 를 구하고 pressure Poisson equation (6b)로부터 fictitious pressure  $\phi^{(n+1)}$ 를 얻어 마지막 projection (pressure update) equation (6c)에서 속도장  $\mathbf{u}^{(n+1)}$ 을 구한다. 구한 속도장의 divergence는 0이다:  $D \mathbf{u}^{(n+1)} = 0$ . 이 방법에서 일어나고 있는 projection 을 Navier–Stokes equation의 exact projection 과 Fig. 1에 비교하였다. 이 방법에서는 actual pressure  $p$ 는 시간 전진 중에 계산하지 않으므로 필요시 별도의 계산을 수행한다. 이 방법에서 구한 속도장은 정확하게 divergence-free 하므로 압력을 시간전진중에 필요로 하지 않는 경우 혹은 속도장의 비압축성이 매우 중요한 계산에 사용할 것을 추천한다.

#### 4.2 Canonical fractional-step methods of type P

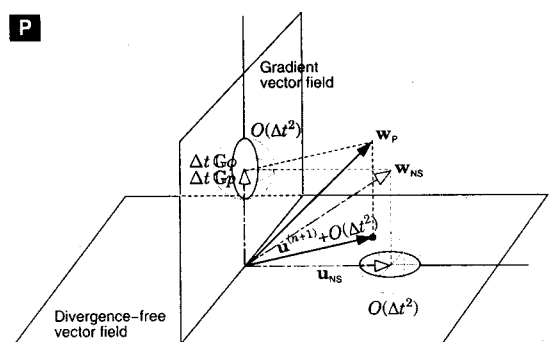
Two split parts를 갖는 이 방법은 아래와 같다:

$$\mathbf{u}^* = \mathbf{r}, \quad (7a)$$

$$D(1+\Delta t B)\mathbf{u}^* - \Delta t D\mathbf{G}\phi^{(n+1)} = 0, \quad (7b)$$

$$A\mathbf{u}^{(n+1)} + \Delta t G\phi^{(n+1)} = \mathbf{u}^*. \quad (7c)$$

앞에서 고찰한 fractional methods of type D 와는 다르게 momentum equations (7a)를 explicit 한 방법으로 전진한 후에 pressure Poisson equation (7b)을 풀어 fictitious press 를 얻고 마지막 pressure-correction equation (7c)에서 속도장을 계산한다. 이 방법에서 얻은 fictitious pressure 는 actual pressure  $p$  와 일치한다. Fig. 2 는 이 방법의 projection mechanism 을 보인다. 이 방법에서 계산한 속도장  $\mathbf{u}^{(n+1)}$  는 단지  $O(\Delta t^2)$  내에서



**Fig. 2.** Comparison of the projection in a second-order method of type P with the exact projection in the Navier–Stokes equations:  $\rightarrow$ , second-order method of type P;  $\dashrightarrow$ , Navier–Stokes equations. The solution obtained by this method is approximately divergence-free to  $O(\Delta t^2)$  and has a second-order error.

approximately divergence-free 하다. 그러나 exact pressure 를 갖는 훌륭한 성질이 있어 정확한 압력이 divergence-free 보다 요구되는 계산에서 혹은 시간전진 중에 압력을 필수적으로 알아야 하는 경우에 유용한 방법이다.

#### 5. Fractional-step methods 의 경계조건

Second-order accuracy 를 갖는 canonical methods 를 사용하여 얻은 해의 accuracy 는 그 경계조건도 splitting accuracy 를 갖어야 비로소 second-order accurate 하다. 이와 같은 경계조건을 consistent boundary conditions 라 한다. Fractional-step methods 의 경계조건을 정하는 일은 nonphysical 한 tentative velocity 와 fictitious pressure 에 대한 것이므로 그 값이 problem formulation 단계에서 미리 알려져 있지 않기 때문에 근본적인 어려움이 있다. 경계조건이 splitting equations 과 동일한 accuracy 를 갖도록 다음의 general rule 에 따라 consistent boundary conditions 를 체계적으로 구하고자 한다.

- (i) tentative velocity 와 fictitious pressure 를 splitting accuracy 까지 현재 timestep 에서 알고 있는 변수로 approximate 한다.
- (ii) 그 결과를 boundary 에 접근하는 limit 를 취한다.

압력의 경계조건은 Neumann type 을 고려한다. 2 차의 splitting accuracy  $O(\Delta t^2)$  에 해당하는 압력은 1 차의 정확도  $O(\Delta t)$  를 가지면 충분하다. 이보다 improved 된 정확도를 갖는 경우 보다 정확

**Table 4.** Consistent second-order boundary conditions for the canonical fractional-step methods of type D, P and M. All the expressions are to be evaluated by extrapolating the corresponding data at the interior of the computational domain, except  $\mathbf{u}^{(n+1)}$  for which the natural boundary condition is imposed.

Type	$G_n \phi^{(n+1)}$	$\mathbf{u}^*$	$\mathbf{u}^{**}$
D	$G_n \phi^{(n)}$ or $\mathbf{n} \cdot [\Delta t^{-1}(\mathbf{r} - \mathbf{u}^{(n+1)}) + \mathbf{B}\mathbf{u}^{(n)}]$	$\mathbf{r} + \Delta t \mathbf{B}\mathbf{u}^{(n)}$ or $\mathbf{u}^{(n+1)} + \Delta t G\phi^{(n)}$	-
P	$G_n \phi^{(n)}$ or $\mathbf{n} \cdot [\Delta t^{-1}(\mathbf{r} - \mathbf{u}^{(n+1)}) + \mathbf{B}\mathbf{u}^{(n)}]$	$\mathbf{r}$ or $\mathbf{u}^{(n+1)} + \Delta t (G\phi^{(n)} - \mathbf{B}\mathbf{u}^{(n)})$	-
M	$G_n \phi^{(n)}$ or $\mathbf{n} \cdot [\Delta t^{-1}(\mathbf{r} - \mathbf{u}^{(n+1)}) + \mathbf{B}\mathbf{u}^{(n)}]$	$\mathbf{r}$ or $\mathbf{u}^{(n+1)} + \Delta t (G\phi^{(n)} - \mathbf{B}\mathbf{u}^{(n)})$	$\mathbf{r} + \Delta t \mathbf{B}\mathbf{u}^{(n)}$ or $\mathbf{u}^{(n+1)} + \Delta t (G\phi^{(n)} - \mathbf{B}\mathbf{u}^{(n)})$

한 결과를 보일 수는 있으나 그렇다고 improved order of accuracy 를 갖음을 뜻하는 것은 아니다. 1 차의 정확도  $O(\Delta t)$ 를 갖는 가장 단순한 형태의 경계조건은  $\phi^{(n+1)}$ 를 시간상 Taylor series 로 전개하여 첫 항만을 취하여 얻을 수 있다:

$$[G_n \phi^{(n+1)}]_B = [G_n \phi^{(n)}]_B + O(\Delta t). \quad (8)$$

여기서  $[*]_B = \lim_{\mathbf{x} \rightarrow \mathbf{x}_B} \{[*]\}$ (\*)는 경계로의 limit 을 의미하며  $G_n = \mathbf{n} \cdot \mathbf{G}$  은 경계면에 수직한 벡터  $\mathbf{n}$  방향으로의 gradient 를 나타낸다. 이 경계조건을 current pressure-gradient (CPG) condition 이라고 하자. 압력경계조건의 다른 expression 은 split equations 또는 이들의 조합으로부터 구할 수 있으며 앞에서 구한 canonical fractional-step methods of type D, P and M 의 압력 및 속도의 경계조건을 Table 4 에 정리하였다. 대부분의 경계조건들은 interior 의 data 를 extrapolate 하여 구한다.

많은 경우에 유동은 steady zero-velocity wall 을 갖으며 이와 같은 유동의 계산에 필요한 경계조건을 고려하기로 하자. 우선 접성향을 second-order implicit 방법인 Crank–Nicolson 방법으로 비선형향을 second-order explicit 방법인 Adams–Bashforth 방법이나 여타의 explicit 한 방법으로 전진한다고 하고 이 방법을 AXCN 이라고 하자. 이 경우 B operator 는  $B = L / (2Re)$ 로 나타낼 수 있다 ( $L$  은 Laplace operator). 이 경우에 canonical fractional-step methods 에 쓸 수 있는 경계조건들을 Table 5 에 정리하였다<sup>(1,7–9)</sup>.

## 6. Homogeneous 압력경계조건을 갖는 fractional-step methods

위에서 보인 바와 같이 압력의 경계조건을 구하기 위하여 interior 의 data 를 extrapolate 하여야 하므로 정확도는 차치하고라도 안전성을 해칠

**Table 5.** Consistent second-order boundary conditions for the canonical fractional-step methods of type D, P and M, when the steady zero-velocity condition is imposed at the boundary. Here, the nonlinear terms are treated explicitly and viscous terms are treated by the Crank–Nicolson method (AXCN method).

Type	$G_n \phi^{(n+1)}$	$\mathbf{u}^*$	$\mathbf{u}^{**}$
D	$G_n \phi^{(n)}$ or $\frac{1}{Re} \mathbf{n} \cdot \mathbf{L}\mathbf{u}^{(n)}$	$\frac{\Delta t}{Re} \mathbf{L}\mathbf{u}^{(n)}$	-
P	$G_n \phi^{(n)}$ or $\frac{1}{Re} \mathbf{n} \cdot \mathbf{L}\mathbf{u}^{(n)}$	$\frac{\Delta t}{2Re} \mathbf{L}\mathbf{u}^{(n)}$	-
M	$G_n \phi^{(n)}$ or $\frac{1}{Re} \mathbf{n} \cdot \mathbf{L}\mathbf{u}^{(n)}$	$\frac{\Delta t}{2Re} \mathbf{L}\mathbf{u}^{(n)}$	$\frac{\Delta t}{Re} \mathbf{L}\mathbf{u}^{(n)}$

수 있는 여지가 매우 많다. 새로운 압력을 정의 하여 homogeneous pressure-gradient (HPG) condition 을 만족도록 한다면 이와 같은 어려움을 극복할 수 있다. 새로운 pressure 는 다음과 같이 delta-form pressure 의 형태임을 보일 수 있다:

$$\Phi^{(n+1)} = \phi^{(n+1)} - \phi^{(n)}. \quad (9)$$

Fractional-step methods of type D\*는 위에서 얻은 canonical methods of type D 에서 새로운 압력을 이용하여 만든 방법으로 다음과 같이 쓸 수 있다.

$$\mathbf{A}\mathbf{u}^* = \mathbf{r} - \Delta t \mathbf{G}\phi^{(n)}, \quad (10a)$$

$$\mathbf{D}\mathbf{u}^* - \Delta t \mathbf{D}\mathbf{G}\Phi^{(n+1)} = 0, \quad (10b)$$

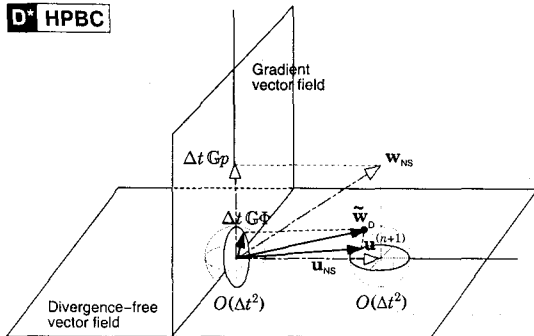
$$\mathbf{u}^{(n+1)} + \Delta t \mathbf{G}\Phi^{(n+1)} = \mathbf{u}^*. \quad (10c)$$

이 방법의 특성은 methods of type D 와 유사하다. 속도장이 divergence-free 하고 압력은 actual pressure 와 2 차의 정확도를 갖는다. 이 방법의 projection mechanism 을 Fig. 3 에 보이고 있다. 이 방법의 또 다른 장점은 tentative velocity 의 경계조건이 매우 간단하게 된다는 점이다. 같은 방법으로 fractional-step methods of type P\*와 M\*를 얻을 수 있으나 tentative velocity 의 경계조건이 간단하게 되지 않는다. 이들의 tentative velocity 에 적용하는 경계조건을 Table 6 에 정리하였다.

앞에서 고려하였던 steady zero-velocity wall 을 갖는 유동에 AXCN 방법을 적용한 경우에 사용되는 fractional-step methods of type D\*, P\* 및 M\* 의 경계조건을 Table 7 에 정리하였다<sup>(3)</sup>.

## 7. 요약 및 결론

2 차정확도의 fractional-step methods 및 boundary conditions 를 연구하였다. 본 연구는 (i) second-order splitting accuracy 갖는 가능한 모든 splitting methods 를 찾아내며; (ii) second-order accurate 한 해를 구할 수 있도록 consistent



**Fig. 3.** Schematic of the projection in a new second-order method of type D\* using the 'delta-form' pressure:  $\longrightarrow$ , present method;  $\dashrightarrow$ , Navier–Stokes equations. Instead of the usual  $w = u^{(n+1)} + O(\Delta t^2)$ , a new vector field  $w - \Delta t G\phi^{(n)} = u^{(n+1)} + O(\Delta t^2)$  is used for the projection in this method. The solution is exactly divergence-free (within machine roundoff) and has a second-order error  $O(\Delta t^2)$ .

boundary conditions 를 결정하는 데 주력하였다. 연구방법과 결과는 특정한 time-advancement schemes, spatial derivatives 의 discretization 방식 또는 computational domain 의 기하학적 형상에 따라 다르지 않아 광범위하게 적용할 수 있다. 2 차 정확도를 보장하도록 approximate factorization 에 기초하여 개발한 fractional-step methods 는 general rule 에 따라 유도한 consistent boundary conditions 과 함께 계산에 사용하면 원하는 2 차정확도의 해를 구할 수 있다. Canonical methods 의 특성과 projection mechanism 을 밝혀 내었으며, homogeneous 경계조건을 갖는 fractional-step methods 를 기본방정식으로부터 유도하였다. 개발된 fractional-step methods 는 각각의 장점을 계산특성에 맞추어 사용하도록 권장한다.

## 참고문헌

- (1) Armfield, S. and Street, R. 1999 The fractional step method for the Navier–Stokes equations on staggered grids: The accuracy of three variations. *J. Comput. Phys.* **153**, 660–665.
- (2) Beam, R. M. and Warming, R. F. 1978 An implicit factored scheme for the compressible Navier–Stokes equations. *AIAA J.* **16**, 393–402.
- (3) Choi, H. and Moin, P. 1994 Effects of the computational time step on numerical solutions of turbulent flow. *J. Comput. Phys.* **113**, 1–4.
- (4) Chorin, A. J. 1968 Numerical solution of the Navier–Stokes equations. *Math. Comp.* **22**, 745–762.
- (5) Dukowicz, J. K. and Dvinsky, A. S. 1992

**Table 6.** Consistent second-order boundary conditions for the canonical fractional-step methods of type D, P and M that admit homogeneous Neumann boundary condition on the pressure. All the expressions are to be evaluated by extrapolating the corresponding data at the interior of the computational domain, except  $u^{(n+1)}$  for which the natural boundary condition is imposed.

Type	$G_n \Phi^{(n+1)}$	$u^*$	$u^{**}$
D*	0	$u^{(n+1)}$	–
P*	0	$r - \Delta t G\phi^{(n)}$ or $u^{(n+1)} - \Delta t \mathbb{B}u^{(n)}$	–
M*	0	$r - \Delta t G\phi^{(n)}$ or $u^{(n+1)} - \Delta t \mathbb{B}u^{(n)}$	$u^{(n+1)}$

**Table 7.** Consistent second-order boundary conditions for the canonical fractional-step methods of type D, P and M that admit homogeneous Neumann boundary condition on the pressure, when the steady zero-velocity condition is imposed at the boundary. Here, the nonlinear terms are treated explicitly and viscous terms are treated by the Crank–Nicolson method (AXCN method).

Type	$G_n \Phi^{(n+1)}$	$u^*$	$u^{**}$
D*	0	0	–
P*	0	$-\frac{\Delta t}{2Re} \mathbb{L}u^{(n)}$	–
M*	0	$-\frac{\Delta t}{2Re} \mathbb{L}u^{(n)}$	0

Approximate factorization as a higher-order splitting for the implicit incompressible flow equations. *J. Comput. Phys.* **102**, 336–347.

- (6) Harlow, F. W. and Welch, J. E. 1965 Numerical calculation of time-dependent viscous incompressible flow of fluids with free surface. *Phys. Fluids* **8**, 2182–2189.
- (7) Karniadakis, G. E., Israeli, M. and Orszag, S. A. 1991 High-order splitting methods for the incompressible Navier–Stokes equations. *J. Comput. Phys.* **97**, 414–443.
- (8) Kim, J. and Moin, P. 1985 Application of a fractional-step method to incompressible Navier–Stokes equations. *J. Comput. Phys.* **59**, 308–323.
- (9) Orszag, S. A., Israeli, M. and Deville, M. O. 1986 Boundary conditions for incompressible flows. *J. Sci. Comput.* **1**, 75–110.
- (10) Perot, J. B. 1993 An analysis of the fractional step method. *J. Comput. Phys.* **108**, 51–58.
- (11) Temam, R. 1969 Sur l’approximation de la solution des équations de Navier–Stokes par la méthode des pas fractionnaires. I. *Arch. Ration. Mech. Anal.* **33**, 135–153.
- (12) Van Kan, J. 1986 A second-order accurate pressure-correction scheme for viscous incompressible flow. *SIAM J. Sci. Stat. Comput.* **7**, 870–891.
- (13) Warming, R. F. and Beam, R. M. 1978 On the construction and application of implicit factored schemes for conservation law. In *SIAM–AMS Proc* Vol. 11 (Proc. Symp. on Comput. Fluid Dyn., New York, New York, April 16–17, 1977), pp. 85–129.